



Hallazgos imagenológicos, presentes en las tomografías computarizadas (TC) de tórax, e histopatológicos en pacientes con neumonía por COVID-19

Carvalho Ruiz, Daniel Ernesto; Crisanchó Orlandino, Mariana Carolina; Martín Castelli, José Manuel; Martínez Núñez, Elizabeth Natalia.
Tutora: Dra. María Salette. Cátedra: Medicina Interna Clínica C. Servicio de Medicina I HVC.

Hallazgos en TC de tórax

Lesiones pulmonares uni o bilaterales, principalmente en lóbulos inferiores, subpleurales, periféricas o difusas

Más frecuentes

Menos frecuentes



Opacidad en vidrio esmerilado **a**



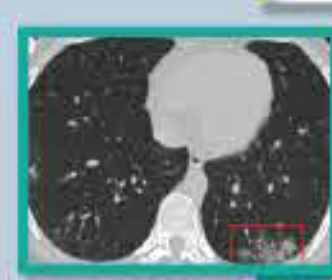
Fibrosis pulmonar **i**



Consolidaciones **b**



Engrosamiento vascular **j**



Patrón reticular **c**



Línea subpleural curvilínea **k**



Patrón en empedrado **d**



Signo de la burbuja de aire **l**



Broncograma aéreo **e**



Nódulos **m**



Engrosamiento septal **f**



Signo del halo **n**



Engrosamiento de paredes bronquiales **g**



Signo del halo invertido **o**

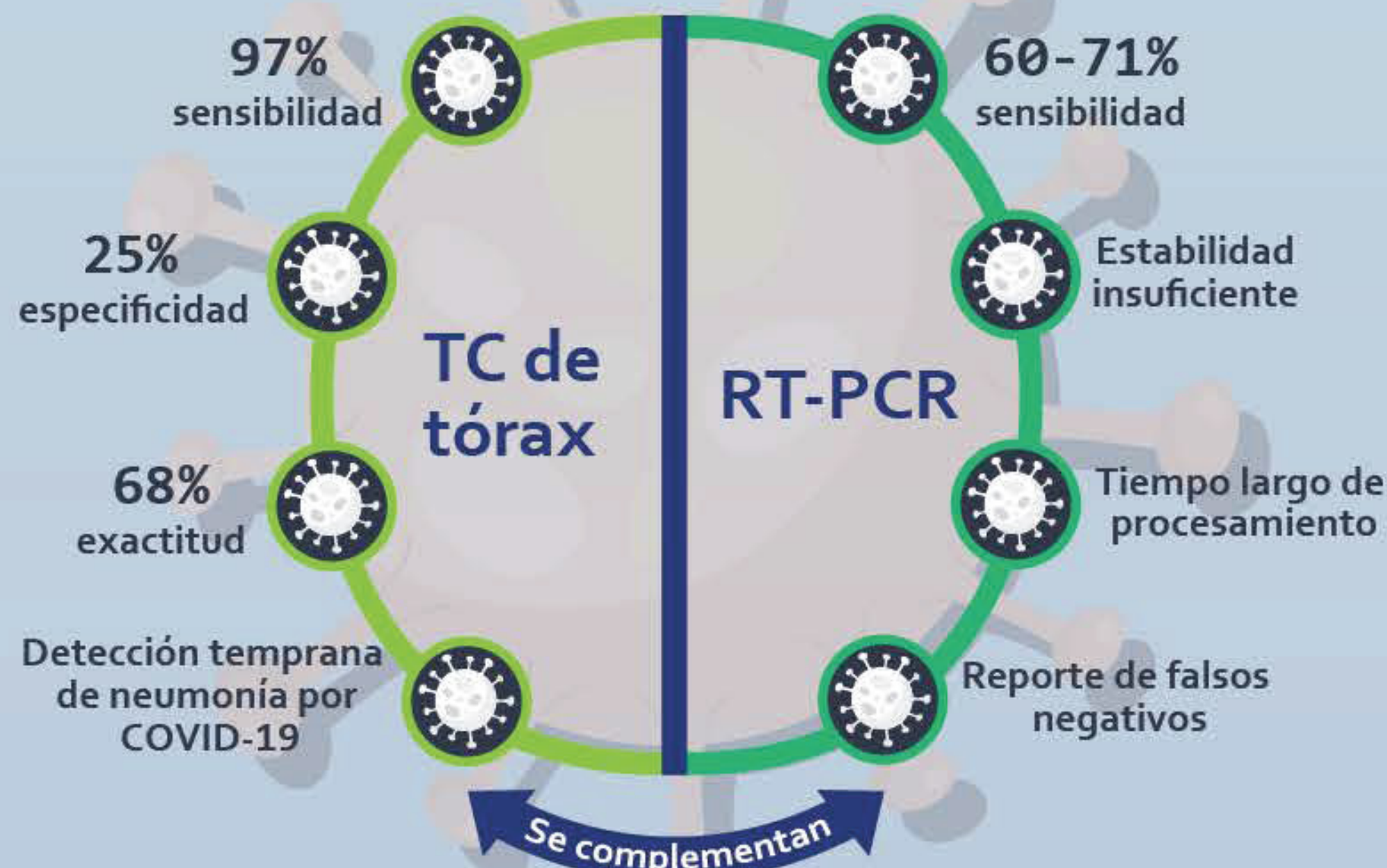


Engrosamiento pleural **h**



Linfadenopatía y derrame pleural **p**

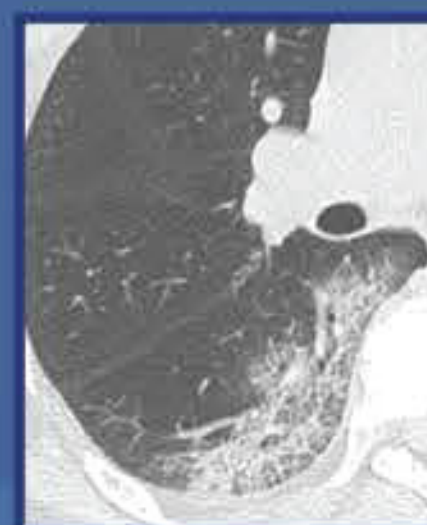
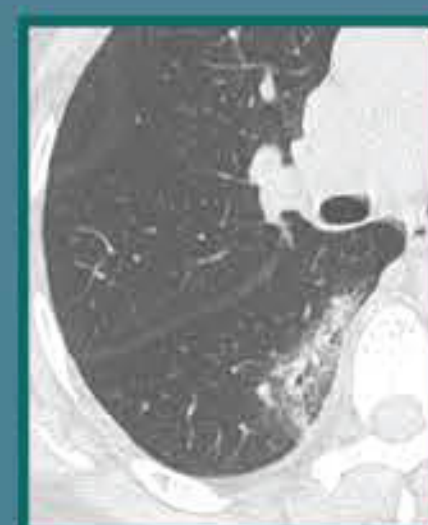
TC de tórax vs RT-PCR



Hallazgos según el progreso de la enfermedad

Opacidad en vidrio esmerilado

Etapa temprana (4-5 días)



Etapa progresiva (5-8 días)

Opacidad en vidrio esmerilado + Patrón en empedrado + Consolidaciones

Opacidad en vidrio esmerilado + Patrón en empedrado + Consolidaciones + Bandas parenquimatosas residuales

Etapa pico (9-13 días)

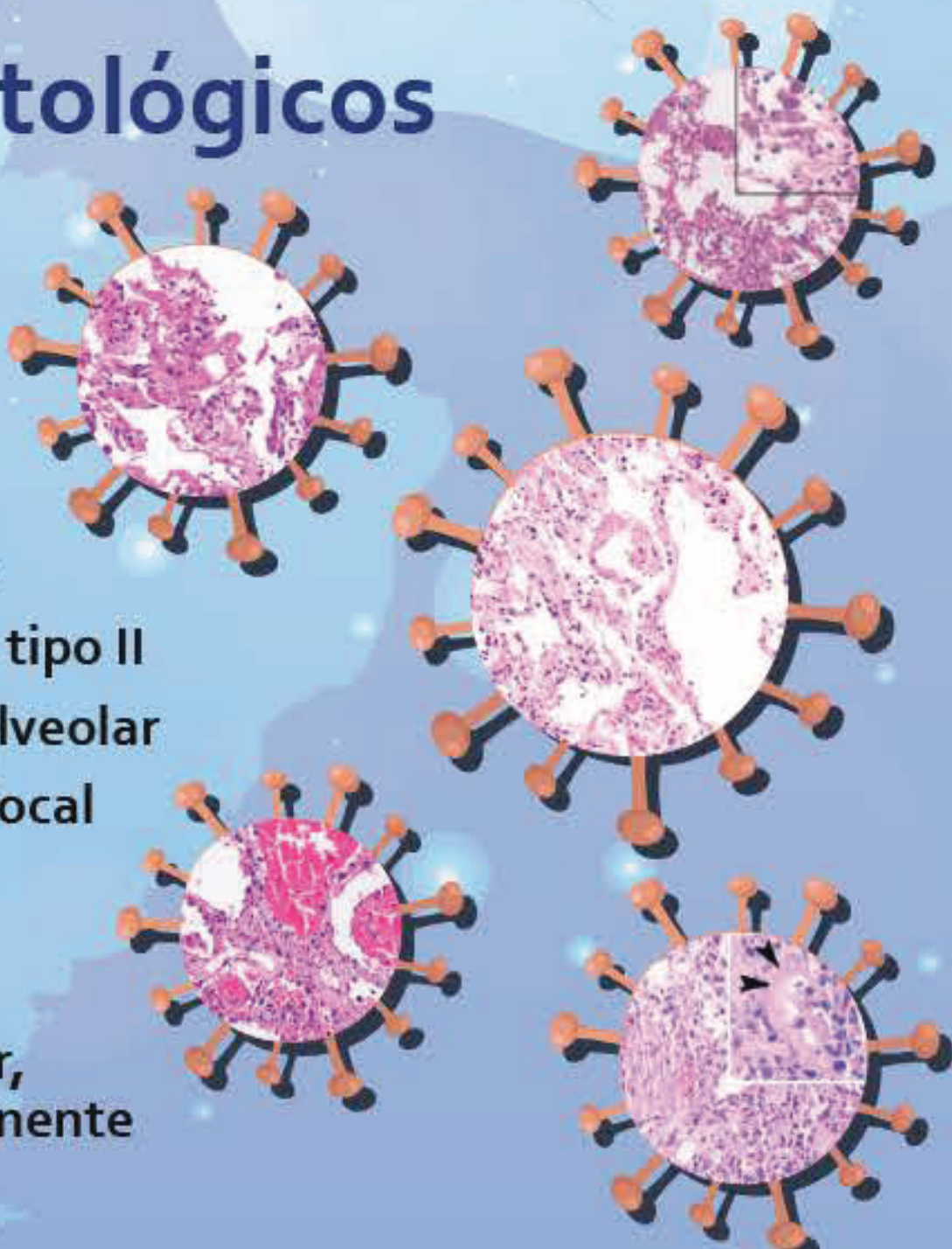


Etapa de absorción (≥14 días)

Opacidad en vidrio esmerilado extenso + Consolidación absorbida

Hallazgos histopatológicos

- Daño alveolar difuso
- Exudado celular fibromixóide
- Membranas hialinas
- Descamación de neumocitos
- Infiltrado intersticial linfocitario
- Hiperplasia difusa de neumocitos tipo II
- Engrosamiento leve de la pared alveolar
- Congestión + necrosis fibrinoide focal vascular
- En espacios intraalveolares: células sincitiales + neumocitos con citoplasma anfófilo granular, núcleo alargado y nucleolo prominente



Shi H, Han X, Jiang N, Cao Y, Alwalid O, Gu J, et al. Radiological findings from 81 patients with COVID-19 pneumonia in Wuhan, China: a descriptive study. *Lancet Infect Dis* [Internet]. 2020 [citado 28 Mar 2020]; 20:425-34. Disponible en: <https://reader.elsevier.com/reader/sd/pii/S1473309920300864?token=C8D752E7A70E7F5331FDAF1812B4DF53EBC779AA8722084588FF6E670D56B9692C5CEFE1EC931883ACC16487C6437F2DB>

YYe Z, Zhang Y, Wang Yi, Huang Z, Song B. Chest CT manifestations of new coronavirus disease (COVID-19): A pictorial review. *Eur Radiol* [Internet]. 2020 [citado 28 Mar 2020]. Disponible en: <https://pubs.rsna.org/doi/10.1148/radiol.2020200370>

Pan F, Ye T, Sun P, Gui S, Liang B, Li L, et al. Time course of lung changes on chest CT during recovery from 2019 novel Coronavirus (COVID-19) pneumonia. *Radiology* [Internet]. 2020 [citado 29 Mar 2020]. Disponible en: <https://pubs.rsna.org/doi/full/10.1148/radiol.2020200642>

Ai T, Yang Z, Hou H, Zhan C, Chen C, Lv W, et al. Correlation of chest CT and RT-PCR testing in Coronavirus disease 2019 (COVID-19) in China: A report of 1014 cases. *Radiology* [Internet]. 2020 [citado 29 Mar 2020]. Disponible en: <https://pubs.rsna.org/doi/full/10.1148/radiol.2020200642>

Xu Z, Shi L, Wang Y, Zhang J, Huang L, Zhang C, et al. Pathological findings of COVID-19 associated with acute respiratory distress syndrome. *Lancet Respir Med* [Internet]. 2020 [citado 30 Mar 2020]; 8:420-22. Disponible en: [https://www.thelancet.com/journals/lanres/article/PIIS2213-2600\(20\)30076-X/fulltext](https://www.thelancet.com/journals/lanres/article/PIIS2213-2600(20)30076-X/fulltext)